اكتشاف الأورام الدماغية باستخدام التعلم العميق ( د. طارق محمد الأناصوري )

مسابقة أفضل مقالة علمية
مقالات كلية كلية الهندسة ( حاسوب )

مسابقة أفضل مقالة علمية
أفضل مقال - كلية طب الأسنان
أفضل مقال - كلية الصيدلة
أفضل مقال - كلية الهندسة
أفضل مقال - كلية هندسة المعمارة
أفضل مقال - كلية الإدارة



الكاتب : د. طارق محمد الأناصوري

**الملخص :**

سرطان الدماغ هو تجمع غير طبيعي للخلايا يحدث في الدماغ. في الوقت الحاضر،تعتبر تقنيات التصوير الطبي، جزءًا مهمًا في تشخيص السرطان. بعد التصوير بالرنين المغناطيسي (MRI) أحد أكثر التقنيات استخدامًا لتحديد مكان الورم في الدماغ. قد تضيع الصور التي يتم الحصول عليها نظرًا لتصنيف الورم. صورة ذات جودة أفضل من خلال تطبيق خوارزميات التعليم العميق. لذلك، تهدف في هذه الدراسة إلى تطوير طريقة للتمييز بوضوح بين الأنسجة الصحية والأنسجة السليمة والحصول على صور واضحة للحصول والدماغ والورم بما يكفي لمراقبتها من قبل الطبيب ومعرفة المزيد من التفاصيل حول الورم في تشخيصهم. تستخدم صور التصوير بالرنين المغناطيسي للفيبر دقة البحث المفتوح لوحد صور في قاعدة البيانات غير طبيعية وصور طبيعية (مع وبدون ورم) لقطاع بالرنين المغناطيسي. جميع الصور بحجم 256 × 256 بكسل بتنسيق JPEG.

يهدف البحث إلى بناء شبكة تعليم عميق قادرة على تمييز المصابين بمرض سرطان الورم الدماغية وذلك بعد تدريبها للتعرف على هذا المرض باستخدام خوارزميات التعليم العميق، تعتمد على أخر تطويرات الشبكات العصبونية التلافيفية من خلال استخدام شبكة Mask RCNN. حيث سنقوم بمناقشة بنية وأعمال خوارزميات الرؤية الحاسوبية والتعليم العميق المختلفة للشبكة العصبونية التلافيفية CNN. وشبكة CNN التي تعتمد على المنطقة (R-CNN). Fast R-CNNg .Faster R-CNNg وصولاً إلى التقنية التي تم استخدامها في بحثنا وهي R-CNN Mask.

**الكلمات المفتاحية**

شبكة اقتراح المنطقة Region Proposal Network RPN

عامل التصنيف الخطي Support Vector Machine SVM

الشبكة العصبونية التلافيفية CNN Convolutional neural network

قسمة منطقة التقاطع الفعلي والمتوقعIntersection over Union IoU

**1- الخوارزميات المستخدمة والتطورات المستمرة عليها**

**1-1 الشبكة العصبونية الالتفافية (CNN):**

عندما شاهد معظمنا نفوم بمسحها صوتيًا. قد نعرض صورة من اليسار إلى اليمين أو من أعلى إلى أسفل لفهم المميزات المختلفة للصورة. يجمع دماغنا بين المميزات المحلية (local features) المختلفة التي قمنا بمسحها صوتيًا للتصنيف الصورة. وهذا بالضبط ما تقوم به هذه الشبكة. تأخذ شبكة CNN الارجاتل كصورة "x" وهي عبارة عن مجموعة ثنائية الأبعاد من البكسلات بقنوات ألوان مختلفة (RGB). أهم فيود شبكة CNN.

يستخدم لاكتشاف الاعتراض باستخدام المربعات المحيطة ولكن لكائن واحد فقط في كل مرة. لا تعمل بشكل جيد عندما توجد كائنات متعددة في المجال البصري بسبب التداخل [1].

**2-1 R-CNN (Region based CNN):**

- إنشاء مقترحات منطقة (category-independent) مستقلة عن الفئة باستخدام البحث الانتقائي لاستخراج 2000 منطقة.
- يتم تغذية مقترحات المنطقة المشوهة (Warped region proposals) إلى شبكة عصبية تلافيفية كبيرة. تعمل CNN كمستخرج ميزة حيث تستخرج متجه ميزة ذات طول ثابت من كل منطقة. وبعد المرور عبر CNN تستخرج R-CNN متجهًا مكونًا من 4096 بعدًا لكل مقترح منطقة.
- يتم تطبيق مصنف خطي (Support Vector Machine) SVM على الميزات المستخرجة من CNN. حيث يساعد SVM في تصنيف وجود الكائن في المنطقة. ويستخدم أ الRegressor للتنبؤ بالتنبيه الأربع للصربع المحيط. وتم تطبيق عملية إزالة التشويش الجشع غير الأقصى (greedy non-maximum suppression) على جميع المناطق المستحلة في صورة ما.
- ترفض عملية إزالة التشويش الجشع غير الأقصى منطقة ما إذا كانت تمتلك قيمة (IoU) تتداخل مع منطقة تم اختيارها بنتيجة أعلى من العتبة التي تم تعلمها. مما يجعل التدريب بطيئًا ومكلفًا في R-CNN.
- تقوم باستخراج 2000 منطقة لكل صورة بناءً على البحث الانتقائي.
- استخراج الميزات لكل منطقة صورة بالنسبة للصورة؛ سيكون لدينا عدد ميزات يبلغ القيمة [2] 2000 CNN * N

**3-1 Fast R-CNN**

إطارعمل سريع لتصنيف الكائنات واكتشاف الأشياء باستخدام شبكات ConvNets العميقة. يستخدم شبكة تحويل عميقة واحدة لاستخراج الميزات، تعمل شبكة ConvNet عميقة واحدةعلى تسريع معالجة الصور بشكل كبير على عكس R-CNN التي تستخدم2000 ConvNets لكل منطقةلمن الصورة. يستخدم softmax لتصنيف الكائنات بدلاً من SVM المستخدم في R-CNN. يستخدم Fast R-CNNp الليت الانتقائي كخريطةلاقتراح للمقترحين في منطقة الاهتمام. وهي عملية بطيئة وتستغرق وقتًا طويلاً. لذا هو غير مناسب لمجموعات البيانات الواقعية الكبيرة [3].

**4-1 Faster R-CNN :**

يستخدم شبكة اقتراح المنطقة RPNلحل البحث الانتقائي المكلف، والتي هي شبكة واحدة ومؤحدة لاكتشاف الكائنات. يتكون من مرحلتين: المرحلة الأولى هي الشبكة التلافيفية العميقة التي تقترح مناطق تسمى شبكة اقتراح المنطقة (RPN) نموذج RPN يستخدم للإشارة إلى الشبكة الموحدة. المرحلة الثانية هي كاشف Fast R-CNN الذي يستخدم الميزات باستخدام Rol Pool من كل مربع مرشح ويفند التصنيف والاحداز الصدوق المحيط (bounding-box regression) [4].

**5-1 خوارزمية R-CNN Mask:**

يحتوي Mask R-CNNعلى فرع إضافي للتنبؤ بأقنعة الاتجزئة في كل منطقة اهتمام (RoI) بطريقة (pixel-to-pixel manner). لم يتم تصميم Faster R-CNN للتحقيق مخادئا من النوع بكسل تلو بكسل بين مدخلات ومخرجات الشبكة. يمتلك Faster RCNN مخرجين لكل كائن مرشح هناك تصنيف فئة (class label) وإزاحة الصندوق المحيط (bounding-box offset). بينما يمتلك شبكة Mask RCNN لثلاثة مخرجات.لكل كائن مرشح هناك تصنيف. فئة(class label)،وناتج ثالث هو قناع الكائن (object mask) [5] [4].

**الشكل (1): بنية عمل Mask R-CNN**

**يتم تنفيذ الخطوات وفقًا لمراحل التالية:**

- يتم تشغيل الصورة من خلال شبكة CNN لإنشاء خرائط الميزات.
- يستخدم شبكة اقتراح المنطقة (RPN) شبكة CNN لتوليد عدة مناطق اهتمام (RoI) باستخدام مصنف ثنائي خفيف الوزن يقوم بذلك باستخدام 9 مربعات تثبيت فوق الصورة، يقوم المصنف بإرجاع نتيجة وجود أوعدم وجود كائن، حيث يتم تطبيق عملية (Non Max suppression).
- تقوم شبكة Rol Align بإخراج مربعات إحاطة متعددة بدلاً من مربع واحد محدد ومن ثم إعادة تشكيلها إلى بُعد ثابت. يتم بعد ذلك إدخال الميزات – بعد تحويلها – في طبقات متصلة بالكامل (FCN) لإجراء التصنيف باستخدام تابع التفعيل softmax ويتم تحسين تنبؤ الصندوق المحيط باستخدام نموذج الانحدار (regression model). يتم أيضًا تغذية الميزات – بعد تحويلها – في مصنف القناع. والذي يتكون من شبكي CNN لإخراج قناع ثنائي لكل منطقة اهتمام حيث يسمح مصنف القناع للشبكة بإنشاء أقنعة لكل فئة.
- بينما نحافظ المفاهيم التي طبقت سابقا في شبكة Faster RCNN على أليه عملها دائما في شبكة Mask RCNN يمثل الشكل التالي مقارنة بين الخوارزميات السابقة لعائلة [4] CNN.

**الشكل (2): مقارنة في آليات عمل خوارزميات تطوير شبكة CNN**

البنية العامة لشبكة Mask RCNN هي كالتالي: **[5]**

**الشكل (3): البنية العامة لشبكة Mask RCN**

**2-النتائج**

تم اختبار هذه الخوارزمية المقارحة على قسم بيانات الاختبار، وذلك لتحديد مناطق الورم المتوقعة.

**الشكل (4): تطبيق الخوارزمية على عينات من بيانات الاختبار**

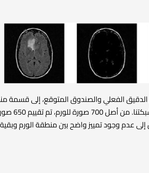

إعتبر عامل [3] IoU الذي يُحسب من قسمة منطقة التقاطع بين الصندوق الدقيق الفعلي والصندوق المتوقع. إلى قسمة منطقة الاتحاد بينهما. عاملاً مهماً في حساب فعالية شبكة Mask-CNN.استخدمنا مكتبة Numpy لحساب قيمته في شبكتنا. من أصل 700 صورة للورم، تم تقييم 650 صورة بشكل صحيح بواسطة النظام بالفي الصور تم تحديدها على أنها خالية من الورم بشكل غير صحيح. ويعود سبب هذا الخلل إلى عدم وجود تمير واضح بين منطقة الورم وبقية أجزاء الدماغ من حيث شدة البكسلات. [6].

**الشكل (5): تشكيل الأقنعة لمناطق انتشار الورم المتوقعة**

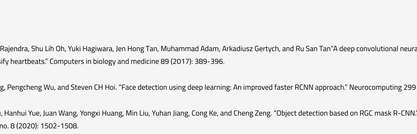

**الخاتمة**

تم في هذا البحث تدريب الشبكة على عدد كبير من البيانات والصور الطبية، بقدم نتائج أفضل كلما أصبحت البيانات المعالجة أكبر (Big Data) بينما لا تستطيع خوارزميات تعليم الالة التقليدية التعامل معها اعتمادا على شبكات Mask-RCNN الحديثة في التعليم العميق، والتي تُعتبر تطوير لشبكات العصبونية التلافيفية CNN. ذلك أنها تؤمن أداء أفضل مع مهام التجزئة أو التقطيع مقارنة مع الشبكات السابقة بعتبر هذا البحث وسيلة مساعدة ودعم للأطباء لتشخيص سرطان الدماغ باستخدام صورالتصويربالرنين المغناطيسي الذي تم الحصول عليها من أرشيف لصور السرطان ( The Cancer Imaging Archive, 2017) فتوجد صور في قاعدة البيانات تحتوي على صورة غير طبيعية وصور عادية (مع وبدون ورم) للدماغ بالرنين المغناطيسي. جميع الصور بحجم 256 × 256 بكسل وبتنسيق JPEG.يتضح البحث المفتوح بمعدل التعرف على الصورالتي تحتوي على ورم بنسبة 85.28٪ ومعدل التعرف على الصور التي لا تحتوي على ورم بنسبة 100٪ يبلغ معدل النجاح الإجمالي للخلاصة حوالي 90٪ مما يدل على أداء أفضل بالمقارنة.

**اقتراح الاعمال المستقبلية**

هناك خوارزميات حديثة يمكن تجربتها وخاصة اننا أتحنا الفرصة للطيب بالاعتماد الكلي على نتائج العمل، يفضل تنفيذ معالجة صورة بشكل دقيق قبل تقديمها للخوارزميات.

**المراجع**

1-Acharya, U. Rajendra, Shu Lih Oh, Yuki Hagiwara, Jen Hong Tan, Muhammad Adam, Arkadiusz Gertych, and Ru San Tan"A deep convolutional neural network model to classify heartbeats." Computers in biology and medicine 89 (2017): 389-396.

2 -Sun, Xudong, Pengcheng Wu, and Steven CH Hoi. "Face detection using deep learning: An improved faster RCNN approach." Neurocomputing 299 (2018): 42-50

3-Wu, Minghu, Hanhui Yue, Juan Wang, Yongxi Huang, Min Liu, Yuhan Jiang, Cong Ke, and Cheng Zeng. "Object detection based on RGC mask R-CNN." IET Image Processing 4, no. 8 (2020): 1502-1508.

4 -He,Kaiming,Georgia Gkioxari,Piotr Dollár,and Ross Girshick."Mask r-cnn In Proceedings of the IEEE international conference on computer vision.2961-2969 2017

5 -Cheng, Tianheng, Xinggang Wang, Lichao Huang, and Wenyu Liu. "Boundary-preserving mask r-cnn." In European conference on computer vision, pp. 660-676. Springer, Cham, 2020.

6 -Bharati, Puja, and Ankita Pramanik. "Deep learning techniques—R-CNN to mask R-CNN: A survey." In Computational Intelligence in Pattern Recognition, pp. 657-668. Springer, Singapore, 2020.

7-The Cancer Imaging Archive,2017. Rembrandt: https://wiki.cancerimagingarchivefrom.net/display/Public/REMBRANDT;jsessionid=D8DC3A



تعمل إدارة المواقع الالكترونية في الجامعة الوطنية الخاصة 2023